

トラスを壁要素とす三角形断面部材の曲げについて

正員 能町純雄*
正員 ○小針憲司**

1. はしがき

断面として逆三角形を有する、図のようなトラスを組合せる構造物を曲げ部材とした場合の特性を論じたものである。格点数は一般に $3n$ 個となり、一点に 3 個の分位が存在するので、マトリックスの大きさは $9n \times 9n$ となることが直ちにわかる。従って n を 8 とすれば 72 元の大型マトリックスとなる。しかし、フーリエ定和変換を用いれば、これを 9 元のマトリックスに変換でき、中型電子計算機によって応力性状を詳しく解明することができる。

ここでは下構面はクロスダイヤゴナルと鉛直材を有するトラス、二側面は、ワルレントラスを組合せた場合を想定して議論を展開する。その結果このトラス組合せ構造物は捩り抵抗が強く曲げ部材として有効なことを示すことができた。

2. 予備公式

フーリエ定和変換公式

a) 逆変換公式

Symbolic Notation

$$\begin{aligned} S_i[f(x)] &= \sum_{x=1}^{n-1} f(x) \sin \frac{i\pi}{n} x, & C_i[f(x)] &= \sum_{x=1}^{n-1} f(x) \cos \frac{i\pi}{n} x \\ \bar{C}_i[f(x)] &= \sum_{x=1}^n f(x) \cos \frac{i\pi}{n} \left(x - \frac{1}{2}\right), & \bar{S}_i[f(x)] &= \sum_{x=1}^n f(x) \sin \frac{i\pi}{n} \left(x - \frac{1}{2}\right) \end{aligned}$$

を導入すると

$$f(x) = \frac{2}{n} \sum_{i=1}^{n-1} S_i[f(x)] \sin \frac{i\pi}{n} x \quad (0 < x < n) \quad (1)$$

$$f(x) = \sum_{i=0}^n R_i \cos \frac{i\pi}{n} x \quad (0 \leq x \leq n) \quad (2)$$

ただし

$$\left. \begin{aligned} R_0 &= \frac{1}{n} \left\{ C_0[f(x)] + \frac{1}{2} f(n) + \frac{1}{2} f(0) \right\} \\ R_i &= \frac{2}{n} \left\{ C_i[f(x)] + \frac{1}{2} f(n) (-1)^i + \frac{1}{2} f(0) \right\} \\ R_n &= \frac{1}{n} \left\{ C_n[f(x)] + \frac{1}{2} f(n) (-1)^n + \frac{1}{2} f(0) \right\} \quad x, i = 0, 1, 2, 3, \dots, n \end{aligned} \right\} \quad (3)$$

$$f(x) = \frac{2}{n} \sum_{i=1}^n \bar{C}_i[f(x)] \cos \frac{i\pi}{n} \left(x - \frac{1}{2}\right) + \frac{R_0}{n}$$

ただし

$$R_0 = \sum_{x=1}^n f(x)$$

$$f(x) = \frac{2}{n} \sum_{i=1}^n \bar{S}_i[f(x)] \sin \frac{i\pi}{n} \left(x - \frac{1}{2}\right)$$

* 室蘭工業大学教授 工博

** 函館ドック K.K. 橋梁鉄構設計課

b) 二次差分、変一次差分のフーリエ定和分

ここに変一次差分と云うのは、 $f(x+1)-f(x-1)$ を一次差分 $f(x+1)-f(x)$ と区分して仮に名付けたものである。

$$S_i \left[f''(x-1) \right] = -\sin \frac{i\pi}{n} \left\{ (-1)^i f(n) - f(0) \right\} - D_i \cdot S_i \left[f(x) \right] \quad (4)$$

$$C_i \left[f''(x-1) \right] = A f(n-1) \cdot (-1)^i - A f(0) - D_i \left\{ \frac{1}{2} f(n) \cdot (-1)^i + \frac{1}{2} f(0) + C_i \left[f(x) \right] \right\} \quad (5)$$

$$S_i \left[f(x+1) - f(x-1) \right] = -2 \sin \frac{i\pi}{n} \left\{ \frac{1}{2} f(n) \cdot (-1)^i + \frac{1}{2} f(0) + C_i \left[f(x) \right] \right\} \quad (6)$$

$$C_i \left[f(x+1) - f(x-1) \right] = - \left\{ A f(n-1) \cdot (-1)^i + A f(0) \right\} + \left(1 + \cos \frac{i\pi}{n} \right) \left\{ f(n) (-1)^i - f(0) \right\} + 2 \sin \frac{i\pi}{n} \cdot S_i \left[f(x) \right] \quad (7)$$

ただし

$$A f(x) = f(x+1) - f(x), \quad D_i = 2 \left(1 - \cos \frac{i\pi}{n} \right)$$

3. トラスを壁要素とする三角形断面部材

a) 力のつり合い

図-1に示すように各弦の格点を $0, 1, 2, \dots, n, 0', 1', 2', \dots, n', 1'', 2'', 3'', \dots, n''$ とし、各格点の水平、鉛直変位をそれぞれ、 $u_x, u_{x'}, u''_x, v_x, v_{x'}, v''_x^{(1)}, v''_x^{(2)}, y_x, y'_x$ とする。各部材については次のようにする。

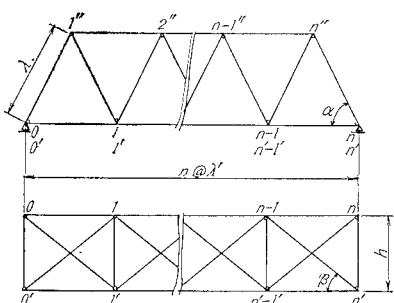


図-1

$x, x+1$ = 各弦材 $(x, x+1)$ の応力 とすると、フックの法則により変位と部材力の間に

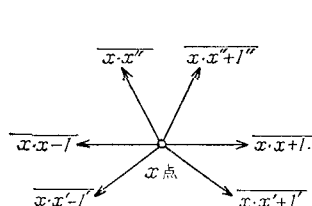


図-2

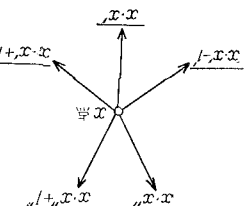


図-3

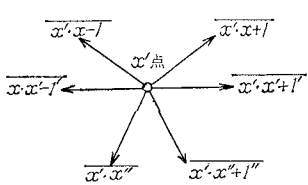


図-4

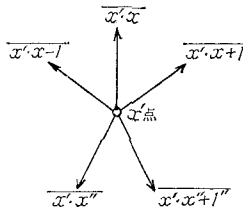


図-5

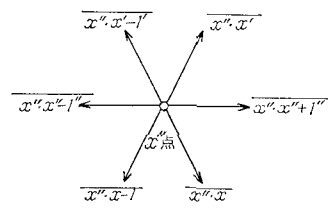


図-6

$$\overline{x, x+1} = \frac{E \cdot A_u}{\lambda'} (u_{x+1} - u_x), \quad \overline{x', x'+1} = \frac{E \cdot A_l}{\lambda'} (u_{x'+1} - u_{x'}) \quad (8), (9)$$

$$\overline{x-1, x''} = \frac{E \cdot A}{\lambda} \left\{ (v_{x''}^{(1)} - v_{x-1}) \sin \alpha + (u_{x''} - u_{x-1}) \cos \alpha \right\} \quad (10)$$

$$\overline{x'-1', x''} = \frac{E \cdot A}{\lambda} \left\{ (v_{x'-1'} - v_{x''}^{(2)}) \sin \alpha - (u_{x'-1'} - u_{x''}) \cos \alpha \right\} \quad (11)$$

$$\overline{x'', x} = \frac{E \cdot A}{\lambda} \left\{ (v_x^{(1)} - v_x) \sin \alpha - (u_{x''} - u_x) \cos \alpha \right\} \quad (12)$$

$$\overline{x', x'} = \frac{E \cdot A}{\lambda} \left\{ (v_{x'} - v_{x''}^{(2)}) \sin \alpha + (u_{x'} - u_{x''}) \cos \alpha \right\} \quad (13)$$

$$\overline{x, x'-1'} = \frac{E \cdot A_d}{h} \sin \beta \left\{ (y_{x'-1'} - y_x) \sin \beta + (u_x - u_{x'-1'}) \cos \beta \right\} \quad (14)$$

$$\overline{x, x'+1'} = \frac{E \cdot A_d}{h} \sin \beta \left\{ (y_{x'+1'} - y_x) \sin \beta + (u_{x'+1'} - u_x) \cos \beta \right\} \quad (15)$$

$$\overline{x, x'} = \frac{EA_v}{h} (y_{x'} - y_x), \quad \overline{x'', x''+1''} = \frac{EA_0}{\lambda'} (u_{x''+1''} - u_{x''}) \quad (16), (17)$$

上式中 $A_u, A_t, A_d, A_v, A_0, A$ はそれぞれ弦材 ($x, x+1$), ($x', x'+1'$), ($x, x'+1'$), (x, x'), ($x', x''+1''$), (x'', x) の断面積, E は弾性係数, $\alpha, \beta, \gamma, h, \lambda, \lambda'$ は図示した通りである。

x 点まわりの力のつりあいは図-2, 3 より

$$\overline{x, x+1-x, x-1+(x, x'+1'-x, x'-1')} \cos \beta + \overline{(x, x''+1''-x, x'')} \cos \alpha = 0 \quad (18)$$

$$\overline{x, x'+(x, x'+1'+x, x'-1')} \sin \beta + \overline{(x, x''+x, x''+1'')} \sin \alpha \cos \gamma = 0 \quad (19)$$

$$(x, x''+x, x''+1'') \sin \alpha \cdot \sin \gamma - P_x = 0 \quad (20)$$

x 点まわりの力のつりあいは図-4, 5 より

$$\overline{x', x'+1'-x', x'-1'+(x', x''+1''-x', x'')} \cos \alpha + \overline{(x', x+1-x', x-1)} \cos \beta = 0 \quad (21)$$

$$\overline{x', x+(x', x-1+x, x+1)} \sin \beta + \overline{(x', x''+1''+x', x'')} \sin \alpha \cdot \cos \gamma = 0 \quad (22)$$

$$(x', x''+x', x''+1'') \sin \alpha \cdot \sin \gamma - P'_x = 0 \quad (23)$$

x'' 点まわりの力のつりあいは図-6 より

$$\overline{x'', x''+1''-x'', x''-1''+(x'', x'+x'', x-\bar{x}'', x'-1'-\bar{x}'', x-1)} \cos \alpha = 0 \quad (24)$$

$$(x'', x'-x'', x+\bar{x}'', x'-1-\bar{x}'', x-1) \sin \alpha \cdot \cos \gamma = 0 \quad (25)$$

$$(x'', x'-1'+x'', x'+x'', x-1+x'', x) \sin \alpha \cdot \sin \gamma + P''_x = 0 \quad (26)$$

となる。(8)~(17) を (18) ~ (26) に代入し変位で書き変えると

$$\begin{aligned} & \frac{EA_u}{\lambda'} \Delta^2 u_{x-1} + \frac{EA}{\lambda} \left\{ (v_{x''+1''}^{(1)} - v_{x''}^{(1)}) \sin \alpha + (u_{x''}-2u_x+u_{x''+1''}) \cos \alpha \right\} \cos \alpha \\ & + \frac{EA_d}{h} \left\{ (y_{x'+1'} - y_{x'-1'}) \sin \beta + (u_{x'+1'} - 2u_x+u_{x'-1'}) \cos \beta \right\} \sin \beta \cdot \cos \beta = 0 \end{aligned} \quad (27)$$

$$\begin{aligned} & \frac{EA_v}{h} (y_{x'} - y_x) + \frac{EA_d}{h} \left\{ (y_{x'+1'} - 2y_x+y_{x'-1'}) \sin \beta + (u_{x'+1'} - u_{x'-1'}) \cos \beta \right\} \sin^2 \beta \\ & + \frac{EA}{\lambda} \left\{ (v_{x''}^{(1)} - 2v_{x''+1''}^{(1)}) \sin \alpha + (-u_{x''}+u_{x''+1''}) \cos \alpha \right\} \sin \alpha \cdot \cos \gamma = 0 \end{aligned} \quad (28)$$

$$\frac{EA}{\lambda} \left\{ (v_{x''}^{(1)} - 2v_x+v_{x''+1''}^{(1)}) \sin \alpha + (u_{x''+1''}-u_{x''}) \cos \alpha \right\} \sin \alpha \cdot \sin \gamma = P_x \quad (29)$$

$$\begin{aligned} & \frac{EA_t}{\lambda'} \Delta^2 u_{x'-1'} + \frac{EA}{\lambda} \left\{ (v_{x''}^{(2)} - v_{x''+1''}) \sin \alpha + (u_{x''}-2u_x+u_{x''+1''}) \cos \alpha \right\} \cos \alpha \\ & - \frac{EA_d}{h} \sin \beta \left\{ (y_{x+1} - y_{x-1}) \sin \beta + (-u_{x+1}+2u_x-u_{x-1}) \cos \beta \right\} \cos \beta = 0 \end{aligned} \quad (30)$$

$$\begin{aligned} & \frac{EA_v}{h} (y_{x'} - y_x) + \frac{EA_d}{h} \sin \beta \left\{ (-y_{x+1}+2y_x-y_{x-1}) \sin \beta + (u_{x+1}-u_{x-1}) \cos \beta \right\} \sin \beta \\ & + \frac{EA}{\lambda} \left\{ (-v_{x''}^{(2)}+2v_{x'}-v_{x''+1''}^{(2)}) \sin \alpha + (-u_{x''}+u_{x''+1''}) \cos \alpha \right\} \sin \alpha \cdot \cos \gamma = 0 \end{aligned} \quad (31)$$

$$\frac{EA}{\lambda} \left\{ (-v_{x''}^{(2)}+2v_{x'}-v_{x''+1''}^{(2)}) \sin \alpha + (u_{x''+1''}-u_{x''}) \cos \alpha \right\} \sin \alpha \cdot \sin \gamma = P'_x \quad (32)$$

$$\begin{aligned} & \frac{EA_0}{\lambda'} \Delta^2 u_{x''-1''} + \frac{EA}{\lambda} \left\{ (v_{x'} - v_{x'-1'}) \sin \alpha + (u_{x'} - 2u_{x''}+u_{x'-1'}) \cos \alpha \right. \\ & \left. - (v_x - v_{x-1}) \sin \alpha + (u_x - 2u_{x''}-u_{x-1}) \cos \alpha \right\} \cos \alpha = 0 \end{aligned} \quad (33)$$

$$\begin{aligned} & \frac{EA}{\lambda} \left\{ (v_{x'} - 2v_{x''}^{(2)}+v_{x'-1'}) \sin \alpha + (u_{x'} - u_{x'-1'}) \cos \alpha \right. \\ & \left. + (v_x - 2v_{x''}^{(1)}+v_{x-1}) \sin \alpha - (u_x - u_{x-1}) \cos \alpha \right\} \sin \alpha \cdot \cos \gamma = 0 \end{aligned} \quad (34)$$

$$\begin{aligned} & \frac{EA}{\lambda} \left\{ (v_{x'} - 2v_{x''}^{(2)}+v_{x'-1'}) \sin \alpha + (u_{x'} - u_{x'-1'}) \cos \alpha \right. \\ & \left. + (-v_x+2v_{x''}^{(1)}-v_{x-1}) \sin \alpha + (u_x - u_{x-1}) \cos \alpha \right\} \sin \alpha \cdot \sin \gamma = -P''_x \end{aligned} \quad (35)$$

b) 変位の定和分変換と境界条件

上式(27)~(35)で与えられる基本差分方程式中(27), (30), (33), に C_i を, (28), (29), (31), (32), (34), (35), に S_i を作用させ, 簡単のため, $\bar{v}_i = S_i[v_x]$, $\bar{v}_{i'} = S_i[v_{x'}]$, $P_i = S_i[P_x]$, $P_{i'} = S_i[P_{x'}]$, $P_{i''} = \sum_{x=1}^n P_x'' \sin \frac{i\pi}{n} \left(x - \frac{1}{2} \right)$, $\bar{u}_{i''} = \sum_{x=1}^n u_x'' \cos \frac{i\pi}{n} \left(x - \frac{1}{2} \right)$, $\bar{v}_{i''}^{(1)} = \sum_{x=1}^n v_x^{(1)} \sin \frac{i\pi}{n} \left(x - \frac{1}{2} \right)$, $\bar{v}_{i''}^{(2)} = \sum_{x=1}^n v_x^{(2)} \sin \frac{i\pi}{n} \left(x - \frac{1}{2} \right)$, $\bar{u}_i = \frac{1}{2} u_n (-1)^i + \frac{1}{2} u_0 + C_i[u_x]$, $\bar{u}_{i'} = \frac{1}{2} u_{i'} (-1)^i + \frac{1}{2} u'_0 + C_i[u_{x'}]$, $\bar{y}_i = S_i[y_x]$, $\bar{y}_{i'} = S_i[y_{x'}]$,

とおき, かつ格点 $0, 0', n, n'$ の水平方向力のつりあいは次の四式となる。(ただしここに作用する水平外力を H_0, H'_0, H_n, H'_n とし, かつ外向きを正とする。)

$$\begin{aligned} & \frac{EA_u}{\lambda'} (u_1 - u_0) + \frac{EA}{\lambda} \left\{ (v_1^{(1)} - v_0) \sin \alpha + (u_1' - u_0) \cos \alpha \right\} \cos \alpha \\ & + \frac{EA_d}{h} \sin \beta \left\{ (y_1' - y_0) \sin \beta + (u_1' - u_0) \cos \beta \right\} \cos \beta = H_0 \end{aligned} \quad (36)$$

$$\begin{aligned} & \frac{EA_t}{\lambda'} (u_1' - u_0') + \frac{EA}{\lambda} \left\{ (v_0' - v_1^{(2)}) \sin \alpha + (u_1'' - u_0') \cos \alpha \right\} \cos \alpha \\ & + \frac{EA_d}{h} \sin \beta \left\{ (y_0' - y_1) \sin \beta + (u_1 - u_0') \cos \beta \right\} \cos \beta = H'_0 \end{aligned} \quad (37)$$

$$\begin{aligned} & \frac{EA_u}{\lambda'} (u_n - u_{n-1}) + \frac{EA}{\lambda} \left\{ (v_{n''}^{(1)} - v_n) \sin \alpha + (u_n - u_{n''}) \cos \alpha \right\} \cos \alpha \\ & + \frac{EA_d}{h} \sin \beta \left\{ (y_{n'-1} - y_n) \sin \beta + (u_n - u_{n'-1}) \cos \beta \right\} \cos \beta = H_n \end{aligned} \quad (38)$$

$$\begin{aligned} & \frac{EA_t}{\lambda'} (u_{n'} - u_{n'-1}) + \frac{EA}{\lambda} \left\{ (v_{n'} - v_{n''}^{(2)}) \sin \alpha + (u_{n'} - u_{n''}) \cos \alpha \right\} \cos \alpha \\ & + \frac{EA_d}{h} \sin \beta \left\{ (y_{n'} - y_{n-1}) \sin \beta + (u_{n'} - u_{n-1}) \cos \beta \right\} \cos \beta = H'_n \end{aligned} \quad (39)$$

$$\nu = \tan \beta, \quad \nu' = \tan \alpha, \quad \mu = A_u/A_d \sin^3 \beta, \quad K = h/EA_d \sin^3 \beta, \quad \delta = A_u/A_d \sin^2 \beta \cdot \cos \beta,$$

$$\delta' = A_t/A_d \sin^2 \beta \cdot \cos \beta, \quad \xi = \lambda/EA \cos^2 \alpha, \quad \eta = A_0 \cdot \lambda/\lambda' \cdot A \cos^2 \alpha$$

とすると(27)~(35)は次のようになる。

$$\begin{aligned} & -\xi (D_i \cdot \delta + 2/\xi + 2/\nu^2) \bar{u}_i + \xi (-D_i + 2)/\nu^2 \bar{u}_{i'} + 2\xi/\nu \sin \frac{i\pi}{n} \bar{y}_{i'} + 2K\nu' \sin \frac{i\pi}{2n} \bar{v}_{i''}^{(1)} + 2K \cos \frac{i\pi}{2n} \bar{u}_{i''} \\ & = \left\{ -(-1)^i H_n + H_0 \right\} K \xi - \xi/\nu \left[(-1)^i y_n - y_0 + \cos \frac{i\pi}{n} \left\{ (-1)^i y_{n'} - y_0' \right\} \right] - \nu' K \left\{ (-1)^i v_n - v_0 \right\} \end{aligned} \quad (40)$$

$$\begin{aligned} & -2\nu'^2 K \cos \gamma \bar{v}_i - 2\xi/\nu \sin \frac{i\pi}{n} \bar{u}_{i'} - (\mu + 2) \xi \bar{y}_i + (\mu - D_i + 2) \xi \bar{y}_{i'} \\ & + 2\nu'^2 K \cos \gamma \cos \frac{i\pi}{2n} \bar{v}_{i''}^{(1)} - 2\nu' K \cos \gamma \sin \frac{i\pi}{2n} \bar{u}_{i''} = \xi \sin \frac{i\pi}{n} \left\{ (-1)^i y_{n'} - y_0' \right\} \end{aligned} \quad (41)$$

$$-2\nu'^2 \bar{v}_i + 2\nu'^2 \cos \frac{i\pi}{2n} \bar{v}_{i''}^{(1)} - 2\nu' \sin \frac{i\pi}{2n} \bar{u}_{i''} = \xi \cose \gamma \bar{P}_i \quad (42)$$

$$\begin{aligned} & \xi (-D_i + 2)/\nu^2 \bar{u}_i - \xi (D_i \cdot \delta' + 2/\xi + 2/\nu^2) \bar{u}_{i'} - 2\xi/\nu \sin \frac{i\pi}{n} \bar{y}_i - 2K\nu' \sin \frac{i\pi}{2n} \bar{v}_{i''}^{(2)} + 2 \cos \frac{i\pi}{2n} \bar{u}_{i''}' \\ & = \left\{ -(-1)^i H'_n + H'_0 \right\} K \xi + \xi/\nu \left[(-1)^i y_{n'} - y_0' + \cos \frac{i\pi}{n} \left\{ (-1)^i y_n - y_0 \right\} \right] + \nu' K \left\{ (-1)^i v_{n'} - v_0 \right\} \end{aligned} \quad (43)$$

$$\begin{aligned} & 2\nu^2 K \cos \gamma \bar{v}_{i'} - 2\xi/\nu \sin \frac{i\pi}{n} \bar{u}_i - (\mu - D_i + 2) \xi \bar{y}_i + (\mu + 2) \xi \bar{y}_{i'} \\ & - 2\nu'^2 K \cos \gamma \cos \frac{i\pi}{2n} \bar{v}_{i''}^{(2)} - 2\nu' K \cos \gamma \sin \frac{i\pi}{2n} \bar{u}_{i''} = -\xi \sin \frac{i\pi}{n} \left\{ (-1)^i y_n - y_0 \right\} \end{aligned} \quad (44)$$

$$2\nu'^2 \bar{v}_{i'} - 2\nu' \cos \frac{i\pi}{2n} \bar{v}_{i''}^{(2)} - 2\nu' \sin \frac{i\pi}{2n} \bar{u}_{i''} = \xi \cose \gamma \bar{P}_{i'} \quad (45)$$

$$\begin{aligned} & -2\nu' \sin \frac{i\pi}{2n} \bar{v}_i + 2\nu' \sin \frac{i\pi}{2n} \bar{v}_{i'} + 2 \cos \frac{i\pi}{2n} \bar{u}_i + 2 \cos \frac{i\pi}{2n} \bar{u}_{i'} \\ & - (\eta D_i + 4) \bar{u}_{i''} = -\nu' \cos \frac{i\pi}{2n} \left\{ (-1)^i v_{n'} - v_0 - (-1)^i v_n + v_0 \right\} \end{aligned} \quad (46)$$

$$\nu'^2 \cos \frac{i\pi}{2n} \bar{v}_i + 2\nu' \cos \frac{i\pi}{2n} \bar{v}_{i'} + 2\nu' \sin \frac{i\pi}{2n} \bar{u}_i - 2\nu' \sin \frac{i\pi}{2n} \bar{u}_{i'} \quad (47)$$

$$-2\nu'^2 \bar{v}_{\psi}^{(1)} - 2\nu'^2 \bar{v}_{\psi}^{(2)} = \nu'^2 \sin \frac{i\pi}{2n} \left\{ (-1)^i v_n - v_0 + (-1)^i v_{n'} v'_0 \right\} \quad (47)$$

$$\begin{aligned} -2\nu'^2 \cos \frac{i\pi}{2n} \bar{v}_{\psi} + 2\nu'^2 \cos \frac{i\pi}{2n} \bar{v}_{\psi'} - 2\nu' \sin \frac{i\pi}{2n} \bar{u}_{\psi} - 2\nu' \sin \frac{i\pi}{2n} \bar{u}_{\psi'} \\ + 2\nu'^2 \bar{v}_{\psi}^{(1)''} - \nu'^2 \bar{v}_{\psi}^{(2)} = \nu'^2 \sin \frac{i\pi}{2n} \left\{ (-1)^i v_n - v_0 - (-1)^i v_{n'} + v_0 \right\} - \xi \cos \gamma \bar{P}_{\psi}'' \end{aligned} \quad (48)$$

今両端単純支持とし、水平外力も作用していないとする。更に荷重は P_x, P'_x とすれば

$$y_n = y_0 = y_{n'} = y_{0'} = v_n = v_0 = v_{n'} = v_{0'} = 0, \quad H_n = H_0 = H_{n'} = H_{0'} = 0$$

となる。

c) 計算例

上記の連立方程式を各格点について解き逆変換を求めて、以下に示す断面諸元を用いて数値計算を行なった。

$$E = 2.1 \times 10^7 \text{ t/m}^2, \quad \alpha = 1.07773, \quad \beta = 0.52026, \quad \gamma = 1.25785, \quad A_d = 0.0028 \text{ m}^2,$$

$$A_u = 0.01471 \text{ m}^2, \quad A_t = 0.01471 \text{ m}^2, \quad A_v = 0.01326 \text{ m}^2, \quad A_0 = 0.02816 \text{ m}^2, \quad A = 0.01049 \text{ m}^2,$$

$$\lambda = 10.1412 \text{ m}, \quad \lambda' = 9.6 \text{ m}, \quad h = 5.5 \text{ m}, \quad n = 8$$

荷重状態は、片側載荷(1)と逆対称載荷(2)の2種類について行なった。尚計算は室蘭工業大学 FACOM-231-ALGOL によって行なったが全点の変位と軸力の計算は一時間で完了できた。

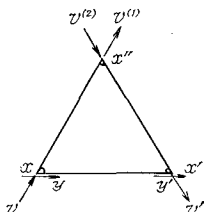


図-7 変位方向

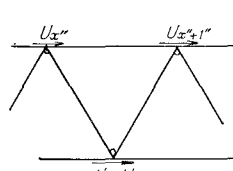


図-8 荷重状態 1

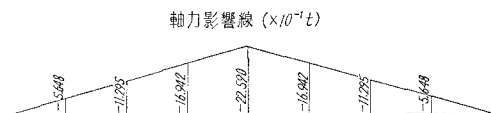


図-9 $4''-5''$



図-10 $4''-4'$

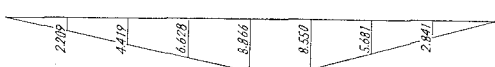


図-11 $4-5 \div 4'-5'$



図-12 $4'-5$



図-13 $4-5'$



図-14 $4-4'$

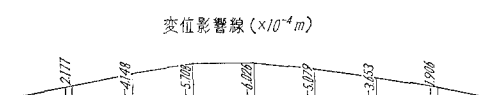


図-15 $v_4^{(1)''}$



図-16 $v_4^{(2)''}$



図-17 v_4

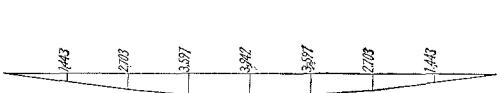


図-18 v_4'

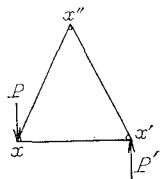


図-19 荷重状態 2

軸力影響線 ($\times 10^{-1} t$)



図-20 4''-4



図-21 4''-4'

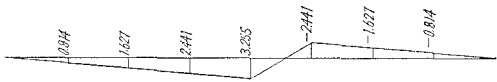


図-22 4'-5

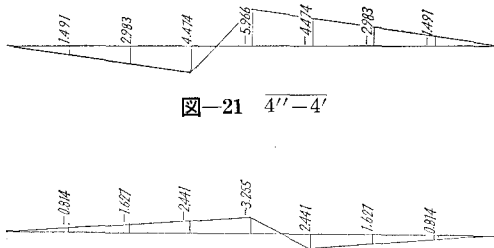


図-23 4-5'

変位影響線 ($\times 10^{-4} m$)



図-24 $v_4 = v'_4$

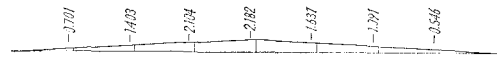


図-25 $v_4^{(1)II} = v_4^{(2)II}$

図示以外の軸力は微小故省略した。

d む す び

弦材応力の影響線図-8~23は、単純梁の曲げモーメント影響線とよく似ており、また偏心荷重に対しても下部トラスの両弦材の影響線の差は殆んど認められることから、いわゆるバイモーメントに対するそり応力に相当するものが極めて小さいことがわかる。これは薄肉閉合断面桁の場合と類似の結果で外力トルクはダイヤゴナルによる捩れ剛性によって大部分吸収されたものと見ることができる。

尚トラストガーダーの手法を加味して、床版を合成した三角断面トラス構造の立体制解析をすることができよう。

参 考 文 献

- 1) 能町純雄：“差分方程式で表わされる不静定構造物の和分変換による解法例” 土木学会北海道支部、技術資料23号、2/1967、pp. 173-177.
- 2) S. G. Nomachi: “On Finite Fourier Sine Series with Respect to Finite Differences”. Memoris of Muroran Ins. Tech., Vol. 5, No. 1, p. 187-202, July, 1965.